

스펙트럼 특성 모델을 이용한 CCD 카메라 시스템의 고성능 칼라 Capturing

이상진, 신윤철, 김일도, 김문철
삼성전자 DM 연구소, Video Lab.

High Fidelity Color Capturing of CCD-Camera System by Using of Spectral Sensitivity Model

Sangjin Lee, Yooncheol Shin, Ildo Kim, Mooncheol Kim
Video Lab.
Digital Media R&D Center
Samsung Electronics co., LTD.
E-mail : leesangjin@samsung.com

Abstract

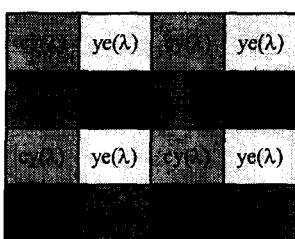
[1][2]를 이용하여 기존 방법의 알고리즘과 비교하여 보았다.

CCD Camera System으로 capture 한 image를 표준 display 장치로 재현할 때 capture 할 당시의 원 피사체의 모습을 그대로 재현하여야만 한다. 그러나 일반 consumer 용 camera system의 CCD channel spectral sensitivity 특성이 인간의 spectral sensitivity($I(\lambda)$, $m(\lambda)$, $s(\lambda)$) 특성과 일치하지 않고, linear transform의 관계도 성립하지 않음으로써 capturing 시 근본적인 color error가 발생하게 된다. 기존의 CCD Camera System에서는 CCD sensor의 color 정보와 display 장치의 color 정보와의 단순한 산술적인 관계로 color를 재구성하는 방법을 사용하고 있어 원 피사체의 color를 그대로 재현할 수가 없다.

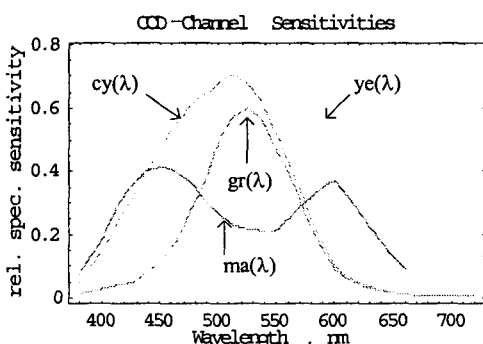
본 논문에서 제시하는 알고리즘은 CCD의 channel spectral sensitivity 특성과 CIE-color matching function과의 관계를 고려하여 color를 재구성함으로써 color error를 줄이도록 하였다. 제시된 알고리즘의 color error를 검증하기 위하여 물체의 고유반사율을 알고 있는 AGFA IT8.7-2 test chart(283 spectra), Dupont Paint Chips(120 spectra), Mcbeth Color Checker(64 spectra) 및 Natural Objects(170 spectra) 등 다양한 objects spectra(637 spectra)

I. 서론

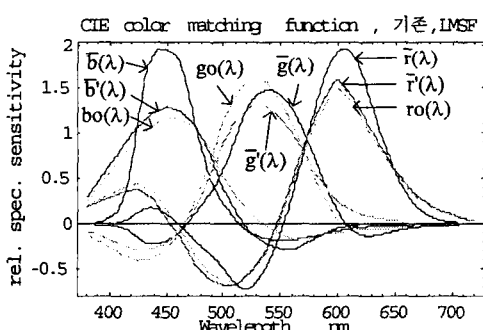
같은 CCD sensor를 사용하더라도 color를 재구성하는 방법에 따라 표준 display 장치를 통해 출력되는 color는 달라지게 된다. [그림 1]과 같이 Mosaic Filter 형 CCD는 Cyan, Magenta, Yellow, Green의 4 가지 color pixel들이 모여 한 full color를 구성한다. 즉, 한 pixel에 한 개의 color 정보 밖에 담고 있지 않기 때문에 주변 pixel의 color 정보를 이용하여 color를 재구성을 할 수밖에 없다. 기존의 방식에서는 각 color를 포함하는 sub-pixel($cy(\lambda)$, $ye(\lambda)$, $gr(\lambda)$, $ma(\lambda)$)들에 integration된 광 에너지의 단순한 조합으로 최종 출력 신호인 RGB 값을 얻게 된다.^[3] 이러한 단순 transform에 사용된 변환계수를 사용해 각 sub-pixel의 spectral sensitivity curve를 transform해서 CIE $r(\lambda)$, $g(\lambda)$, $b(\lambda)$ color matching function과 비교하여 보면 color 재구성에 사용된 curve가 상당 부분 차이가 있음을 알 수 있다. [그림 3] 이러한 color error를 줄이기 위해 본 논문에서는 Least Mean Square Fitting 방법(이하 LMSF)을 이용한 color 재구성 알고리



[그림 1] CCD Photo Cell



[그림 2] spectrum



[그림 3]

증을 제시하였다. 즉, Color matching function의 spectrum과 CCD sensor의 color spectrum과의 관계를 Least Mean Square Fitting 방법으로 전달함수를 만들어 color를 재구성하는 방법이다.

제시된 알고리즘을 이용하여 재구성한 $r'(\lambda)$, $g'(\lambda)$, $b'(\lambda)$ color의 spectrum은 기존의 방법과 비교하여 color matching function과 graph 형태가 많이 비슷하여 진 것을 확인할 수 있다. [그림 3]

II. 본론

2.1 기존 방법

CCD Sensor는 vertical shift register를 통해 두개의 pixel 값의 합을 출력 값으로 한다. 즉 $cy(\lambda) + gr(\lambda)$, $ye(\lambda) + ma(\lambda)$, $gr(\lambda) + cy(\lambda)$, $ma(\lambda) + ye(\lambda)$, $cy(\lambda) + ma(\lambda)$, $ye(\lambda) + gr(\lambda)$ 와 같은 형태로 출력이 된다. 이렇게 출력된 신호를 이용해 식(1), (2), (3)에 의해 $y'(\lambda)$, $cb'(\lambda)$, $cr'(\lambda)$ 를 만들게 된다.

$$y'(\lambda) = \frac{ma(\lambda) + ye(\lambda) + gr(\lambda) + cy(\lambda)}{2} \quad (1)$$

$$cr'(\lambda) = (ma(\lambda) + ye(\lambda)) - (gr(\lambda) + cy(\lambda)) \quad (2)$$

$$cb'(\lambda) = (ye(\lambda) + gr(\lambda)) - (cy(\lambda) + ma(\lambda)) \quad (3)$$

이렇게 만들어진 $y'(\lambda)$, $cb'(\lambda)$, $cr'(\lambda)$ 신호는 YCbCr color space를 RGB color space로 conversion 해주는 matrix M^* 에 의해 $ro(\lambda)$, $go(\lambda)$, $bo(\lambda)$ 로 conversion을 한다.

이와 같이 단순히 color space만 바꾸어주게 되는 단순연산을 이용한 기존 방법에서는 CCD의 channel spectral sensitivity 특성과 CIE-color matching function과의 관계를 고려하지 않음으로 인해 많은 color error를 만들게 된다.

2.2 Least Mean Squares Fit

이상적인 CCD camera의 spectral sensitivity 특성을 $V = (V_1(\lambda), V_2(\lambda), V_3(\lambda))$, CIE standard color matching function의 spectrum 특성을 $X = (r(\lambda), g(\lambda), b(\lambda))$ 라고 정의할 때, CCD camera의 입력 신호와 RGB 출력과의 관계식은 다음과 같이 주어진다.

$$X = MV \quad (4)$$

여기서 M 은 CCD camera의 spectral sensitivity 특성과 CIE standard color matching function 특성과의 선형적 관계를 나타내는 matrix이다. 그러나 식(4)을 만족하는 CCD Camera System을 만들기란 쉽지가 않다. 따라서 일반 consumer용으로 사용되는 대부분의 CCD Camera는 이 조건을 만족하지 못하므로 Systematic Color Capturing Error가 발생하게 된다. 근본적인 비선형적 문제를 보정하기 위한 방법으로 식(5)와 같은 LMSF 관계식을 사

용하게 된다.

$$M \cong (VV^T)^{-1}(VX) \quad (5)$$

여기서 V^T 는 V 의 전치행렬, V^{-1} 은 V 의 역행렬을 나타낸다.

[그림 2]와 같은 Mosaic Filter 형 CCD sensor 의 Cyan, Magenta, Yellow, Green 4 개의 color 별 spectrum 특성을 이용해 우선 CCD charge transfer 과정 및 preprocessing 과정에서 계산의 용이성을 위해 식(6), (7), (8)에 의해 V space로 변환한다. 이렇게 구해진 V 값을 식(5)에서 사용하게 된다.

$$V_1 = \frac{cy(\lambda) + ma(\lambda) + ye(\lambda) + ge(\lambda)}{2} \quad (6)$$

$$V_2 = -cy(\lambda) + ma(\lambda) + ye(\lambda) - gr(\lambda) \quad (7)$$

$$V_3 = -cy(\lambda) - ma(\lambda) + ye(\lambda) + gr(\lambda) \quad (8)$$

위에서 얻은 V 와 CIE $\bar{r}'(\lambda)$, $\bar{g}'(\lambda)$, $\bar{b}'(\lambda)$ color matching function X 와의 관계를 식(5)에 의해 LMSF로 근사하면 $y'(\lambda)$, $cb'(\lambda)$, $cr'(\lambda)$ 신호를 $\bar{r}'(\lambda)$, $\bar{g}'(\lambda)$, $\bar{b}'(\lambda)$ 신호로 conversion 해주는 matrix M 을 얻을 수 있다.

CCD sensor의 출력 신호를 preprocessing 알고리즘을 이용하여 만들어낸 V_1 , V_2 , V_3 신호를 식(9)과 같은 관계식을 이용하여 $\bar{r}'(\lambda)$, $\bar{g}'(\lambda)$, $\bar{b}'(\lambda)$ 출력을 만들어 낼 수 있다. 이렇게 만들어진 출력은 기존방법을 이용한 출력신호에 비해 CIE $\bar{r}'(\lambda)$, $\bar{g}'(\lambda)$, $\bar{b}'(\lambda)$ color matching function 특성에 보다 근접하게 된다.

식(9)에 의해 재구성된 $\bar{r}'(\lambda)$, $\bar{g}'(\lambda)$, $\bar{b}'(\lambda)$ data 와 $\bar{r}'(\lambda)$, $\bar{g}'(\lambda)$, $\bar{b}'(\lambda)$ data, 기존방법으로 구해진 $ro(\lambda)$, $go(\lambda)$, $bo(\lambda)$ data 를 아래 [그림 3]에 나타내었다. 그림[3]에서 확인할 수 있듯이 재구성된 data의 spectral sensitivity가 CIE $\bar{r}'(\lambda)$, $\bar{g}'(\lambda)$, $\bar{b}'(\lambda)$ color matching function의 spectral sensitivity에 보다 근접함을 알 수 있다. 참고로 각 Spectrum의 Amplitude 차이는 White Balance에 의해 자동 보정되어 CIE $\bar{r}'(\lambda)$, $\bar{g}'(\lambda)$, $\bar{b}'(\lambda)$ color matching function의 Integral Value와 일치시키도록 한다.

$$\begin{pmatrix} \bar{r}'(\lambda) \\ \bar{g}'(\lambda) \\ \bar{b}'(\lambda) \end{pmatrix} = M \cdot \begin{pmatrix} V_1(\lambda) \\ V_2(\lambda) \\ V_3(\lambda) \end{pmatrix} \quad (9)$$

식(9)에 의해 계산된 $\bar{r}'(\lambda)$, $\bar{g}'(\lambda)$, $\bar{b}'(\lambda)$ data의 performance를 확인하기 위해서 즉, 구해진 Matrix에 의해 계산된 값이 기존 방법으로 구해진 $ro(\lambda)$, $go(\lambda)$, $bo(\lambda)$ data 대비 얼마나 CIE $\bar{r}'(\lambda)$, $\bar{g}'(\lambda)$, $\bar{b}'(\lambda)$ color matching function의 spectral sensitivity 특성과 유사한 특성을 갖는가를 측정해보기 위해 고유반사율을 알고 있는 AGFA IT8.7-2 test chart, Dupont Paint Chips, Mcbeth Color Checker 및 Natural Objects를 이용하여 확인하였다.

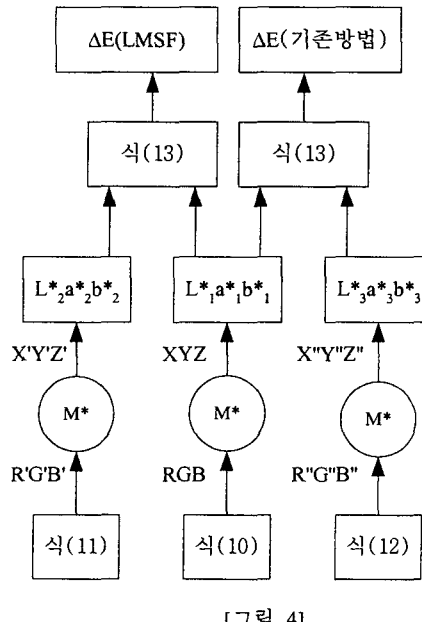
[그림 4]

$$\begin{pmatrix} R \\ G \\ B \end{pmatrix} = \int \begin{pmatrix} \bar{r}'(\lambda) \\ \bar{g}'(\lambda) \\ \bar{b}'(\lambda) \end{pmatrix} \cdot R(\lambda) \cdot I(\lambda) d\lambda \quad (10)$$

$$\begin{pmatrix} R' \\ G' \\ B' \end{pmatrix} = \int \begin{pmatrix} \bar{r}'(\lambda) \\ \bar{g}'(\lambda) \\ \bar{b}'(\lambda) \end{pmatrix} \cdot R(\lambda) \cdot I(\lambda) d\lambda \quad (11)$$

$$\begin{pmatrix} R'' \\ G'' \\ B'' \end{pmatrix} = \int \begin{pmatrix} ro(\lambda) \\ go(\lambda) \\ bo(\lambda) \end{pmatrix} \cdot R(\lambda) \cdot I(\lambda) d\lambda \quad (12)$$

$$\Delta E = \sqrt{(L^*_{1,1} - L^*_{2,2})^2 + (a^*_{1,1} - a^*_{2,2})^2 + (b^*_{1,1} - b^*_{2,2})^2} \quad (13)$$

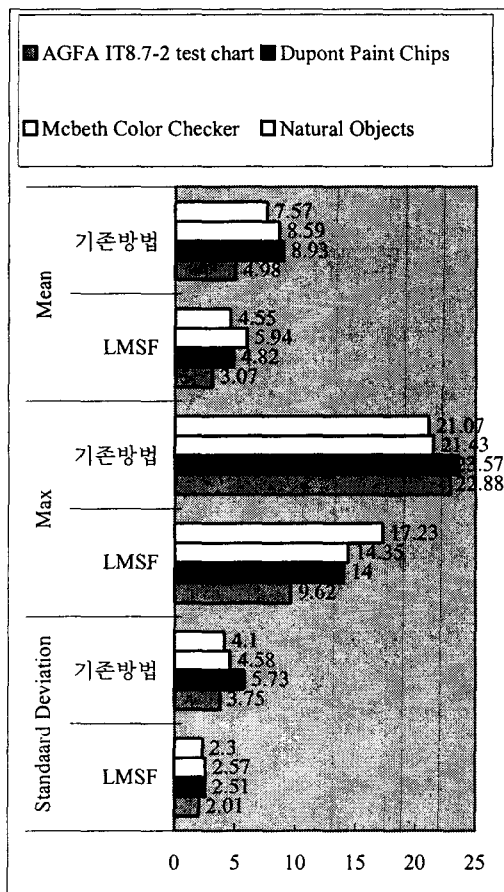


[그림 4]

2.3 Compute delta E with known reflectance

색차 비교는 인간 눈의 특성과 연관된 data를 만들

기 위하여 각각 구하여진 XYZ data 를 CIE-L*a*b* color space 로 conversion 하여 비교 하였다.^[4] 또 비교한 data 의 객관성을 유지 하기 위하여 CIE $r(\lambda)$, $g(\lambda)$, $b(\lambda)$ color matching function 과 기존방법에 구하여진 $r_o(\lambda)$, $g_o(\lambda)$, $b_o(\lambda)$ 의 spectral sensitivity 특성, 본 논문에서 제시한 알고리즘을 통하여 구하여진 $r'(\lambda)$, $g'(\lambda)$, $b'(\lambda)$ 의 spectral sensitivity 특성을 고려한 값과의 색차를 구하여 평균, 최대값과 표준편차를 수치화하였다. [그림 4]에서는 ΔE 을 구하는 과정을 도시 하였다. M^* 는 RGB color space 를 XYZ color space 로 conversion 하는 표준 matrix 로 CIE 표준 규격을 따른다. 구하는 과정에서 사용된 식(10), (11), (12)의 $R(\lambda)$ 는 물체의 고유 spectral sensitivity, $I(\lambda)$ 는 비추어준 조명의 spectral sensitivity 이고 CIE-D₆₅조명을 사용하였다

[그림 5] ΔE

이렇게 구한 ΔE 의 mean 값, max 값 및 표준편차 값을 [그림 5]에 도시하였다. 그림에서 확인할 수 있듯이 본

논문에서 제시한 알고리즘의 결과가 기존방법에 의한 결과에 비교해 object 별 ΔE 의 Mean 값이 3~6 대로 약 절반정도 개선 되었음을 확인할 수 있다.

III. 결론 및 고찰

논문에서 제시한 방법에 의거 capture 한 color signal 과 기존방법에 의한 재구성한 방법에 대해 standard observer 가 보았을 때의 color 신호와의 색차를 uniform color space 인 CIE-L*a*b*상에서 비교한 결과 총 대상 spectrum 637 개에 대해 object 별로 모두 현저히 개선 되었음을 알 수 있다. 이는 인간이 CCD camera system 을 이용해 사물을 capture 한 data 를 표준 display 장치에서 보았을 때 capture 한 피사체의 영상정보를 보다 정확히 보존하여 표현한다는 것을 의미한다. 즉, 인간의 눈으로 직접 피사체를 본 것과 그 피사체를 CCD camera system 으로 capture 하여 표준 display 장치에서 display 하는 것과 인간이 느끼기에는 거의 유사하다고 말할 수 있다. 통계적으로도 복잡한 정치영상에서 display 되는 영상신호의 spectral sensitivity 와 CIE $r(\lambda)$, $g(\lambda)$, $b(\lambda)$ color matching function 의 spectral sensitivity 와의 ΔE 값이 3 정도이면 인간이 구별하기 힘든 것으로 알려져 있다. 동영상에서는 이 값이 더욱 커질 것이므로 [그림 5]에 도시된 값에서 확인할 수 있듯이 본 논문에서 제시한 알고리즘을 적용 시 standard observer 가 느끼는 색차는 거의 무시 할 수 있을 것이다.

이와 같이 본 논문에서 제시한 알고리즘은 기존 방법대비 모든 color camera system 의 Transformation Matrix 를 간단히 변경함으로써 Camera System 의 Color Fidelity 를 효과적으로 상승시킬 수 있다.

참고문헌

- [1] <http://www.ite.rwth-aachen.de/ITE/inhalt/service/downloads.html>
- [2] <ftp://server.ite.rwth-aachen.de/pub/spectra>
- [3] Sony ICX220AK data sheet
- [4] Colorimetry. CIE Pub. 15.2, 2nd ed., Commission International de L'Eclairage, Vienna,